

FRECUENCIAS NATURALES Y MODOS NORMALES DE VIBRACIÓN TRANSVERSAL DE UNA PLACA RECTANGULAR ORTÓTropa, LIBRE DE VINCULACIÓN

Daniel H. Felix^{*}, Carlos A. Rossit^{*†}, Patricio A. A. Laura^{*} y Diana V. Bambill^{*†}

^{*}Departamento de Ingeniería – Instituto de Mecánica Aplicada
Universidad Nacional del Sur,
Av. Alem 1253 – (8000) Bahía Blanca - Argentina
e-mail: dhfelix@criba.edu.ar, ima@criba.edu.ar

[†]Consejo Nacional de Investigaciones Científicas y Técnicas (CONICET)
e-mail: carossit@criba.edu.ar, dbambill@criba.edu.ar

Palabras Clave: Placas libres, ortótropas, Rayleigh-Ritz, frecuencias, formas modales

Resumen. *El presente estudio es de interés, tanto básico como aplicado, desde el punto de vista de vibraciones de tableros de puentes, estructuras navales y aplicaciones aeroespaciales. Se obtienen los primeros coeficientes de frecuencia natural del sistema en estudio, y las respectivas formas modales, en una extensa variedad de modelos, considerándose los modos doblemente simétricos, doblemente antisimétricos y simétricos-antisimétricos. La elección del modelo propuesto se basa además, en el creciente y renovado interés, por el uso de materiales con propiedades ortótropas, generado por construcción, laminado o presencia de refuerzos estructurales, entre otros. Si bien puede hallarse extensa bibliografía que trata el análisis dinámico del problema de la placa rectangular totalmente libre, cuando se consideran materiales isótropos, no ocurre lo mismo, cuando se agregan condiciones de ortotropía para el material considerado. Pueden citarse para tal caso, los trabajos de D. J. Gorman que ha obtenido resultados de alta precisión, mediante la aplicación del método de superposición. Se plantea la solución, mediante el método energético de Rayleigh-Ritz, bajo una interfaz matricial que agiliza considerablemente su aplicación, y permite utilizar un gran número de términos. De este modo se comparan los resultados obtenidos con los hallados en la literatura, evidenciándose que el método propuesto arroja resultados satisfactorios. Por otra parte el método variacional propuesto, hace altamente conveniente el tratamiento de complejidades mecánico-estructurales adicionales, por ejemplo presencia de masas concentradas, orificios, etc. Otras metodologías analíticas disponibles no permitirían, en principio, el tratamiento de tales complejidades*

1 INTRODUCCIÓN

La técnica analítica utilizada en el presente trabajo, combina el método de Rayleigh-Ritz, la utilización de funciones-viga como funciones coordenadas y el uso de álgebra matricial, para desarrollar los algoritmos aplicados. Tales algoritmos permiten por una vía analítico-numérica disponer de una herramienta alternativa para la determinación de frecuencias naturales y formas modales, en este caso aplicada al modelo de placa rectangular ortótropa totalmente libre.

En los últimos años el modelo de placa libre de vinculación ha adquirido interés especial, y puede ser utilizado como primera aproximación y para una interpretación simplificada de complejos sistemas estructurales que en su forma más simple tienden al comportamiento de placa libre. Ejemplos de tales sistemas lo constituyen bases marítimas, estaciones espaciales, o bien sistemas dinámicos menos complejos con condiciones de vinculación equivalentes.

Como es sabido, el tratamiento del modelo de placa totalmente libre en la literatura técnico científica es abundante cuando se consideran materiales isótropos¹, homogéneos y continuos. Esta publicación pretende contribuir adicionalmente con el tratamiento de materiales ortótropos y presencia de huecos en la placa, que por lo indicado en párrafos anteriores puede resultar más indicado para representar algunos de los sistemas estructurales mencionados.

En la primer parte del trabajo que contempla la placa ortótropa maciza, se ha realizado una comparación exhaustiva con resultados obtenidos por D. J. Gorman² (que ha utilizado el método de superposición), para mostrar el nivel de precisión alcanzado con la variante de Rayleigh-Ritz mencionada. No resulta de menor importancia destacar el hecho de que esta metodología no requiere satisfacer las condiciones de borde naturales en los bordes libres, lo cual la convierte en una herramienta más simple de interpretar y de aplicar.

La segunda parte del trabajo contempla la presencia de un hueco centrado en la placa ortótropa libre, destacándose el hecho de que no se han hallado trabajos similares en la literatura desarrollados por una vía analítica o semi-analítica.

La presente contribución se completa con la determinación de formas modales y el análisis de los cambios que registran los coeficientes de frecuencia, al modificar las condiciones de ortotropía del material y las dimensiones del hueco.

2 ESQUEMA DEL MODELO ANALIZADO

La figura 1 muestra esquemáticamente los modelos analizados observándose:

- a) Modelo de placa ortótropa maciza, libre de vinculación
- b) Modelo de placa ortótropa con un hueco centrado, libre de vinculación

El material elegido en ambos casos es el hormigón armado, por su amplia aplicación², adoptándose, como aproximación de sus coeficientes de Poisson a la relación: $\sqrt{\nu_1 \nu_2} = 0.25$.

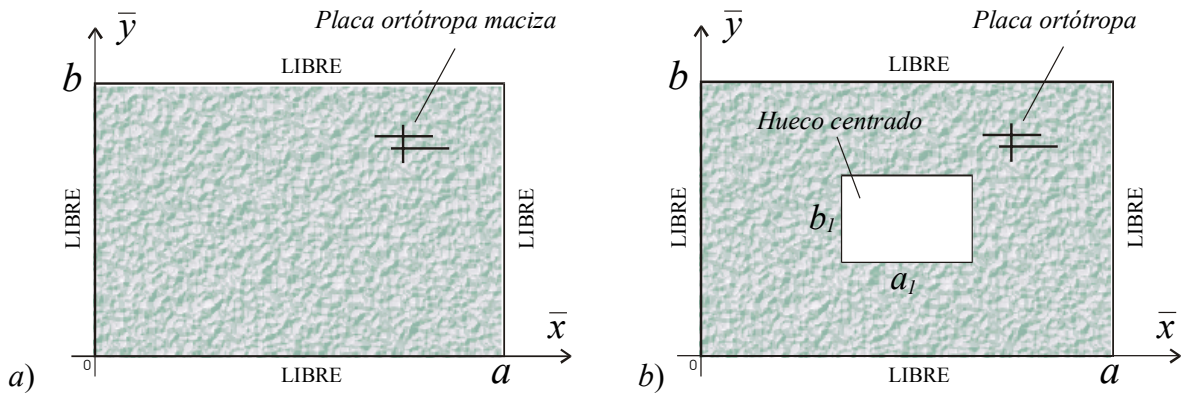


Figure 1: Esquema de los modelos analizados: a) placa maciza, b) placa con hueco centrado

En la figura 1, la línea sobre las coordenadas espaciales de la placa, \bar{x} e \bar{y} indica que no son dimensionales y las direcciones principales de elasticidad son coincidentes con los ejes coordenados. En la figura 1b, la relación a_1/a entre los lados del hueco, se mantiene igual a la relación $\lambda = a/b$, entre los lados de la placa.

3 FORMULACIÓN VARIACIONAL: RAYLEIGH-RITZ

Para lograr un enfoque auto contenido, en primer lugar se reseñan brevemente los fundamentos del algoritmo utilizado.

3.1 Fundamentos del método

El modelo de placa esquematizado en la figura 1, es gobernado por la siguiente funcional, en la que se emplea la nomenclatura utilizada por Lekhnitskii³:

$$\begin{aligned}
 \mathcal{J}[W] = U_{\max} - T_{\max} = \frac{1}{2} \int_A \left[D_1 \left(\frac{\partial^2 W}{\partial \bar{x}^2} \right)^2 + 2 D_1 \nu_2 \frac{\partial^2 W}{\partial \bar{x}^2} \frac{\partial^2 W}{\partial \bar{y}^2} + D_2 \left(\frac{\partial^2 W}{\partial \bar{y}^2} \right)^2 \right. \\
 \left. + 4 D_k \left(\frac{\partial^2 W}{\partial \bar{x} \partial \bar{y}} \right)^2 \right] d\bar{x} d\bar{y} - \frac{1}{2} \rho \omega^2 \int_A h W^2 d\bar{x} d\bar{y}
 \end{aligned} \tag{1}$$

La cual, como se observa en la expresión (1), se obtiene por diferencia entre la energía de deformación máxima y la energía cinética máxima. La funcional gobernante (1), contiene los parámetros que definen las propiedades mecánicas y geométricas de la placa, siendo: D_1 y D_2 , la rigidez a flexión de la placa en las direcciones principales de elasticidad, que son coincidentes con la dirección de los ejes coordenados; D_k , la rigidez torsional; ρ la densidad del material; ν_1 y ν_2 los coeficientes de Poisson en las direcciones mencionadas; h el espesor

de la placa y A_n , el área neta de la placa, que requiere en el caso de la figura 1b, restar el área del hueco.

Además la funcional (1) contiene los autovalores y autofunciones a determinar, siendo: $W(x, y)$, la amplitud de desplazamiento transversal de la placa cuando ejecuta vibraciones transversales libres, y ω la correspondiente frecuencia de vibración.

Los autovalores y autofunciones mencionados se obtienen minimizando la funcional planteada por medio de la siguiente expresión variacional:

$$\delta J [W] = 0 \quad (2)$$

que indica que la primera variación de la funcional debe anularse, cuando la funcional alcance un valor mínimo.

La solución de la expresión (2), es obtenida mediante la aplicación del método de Rayleigh-Ritz^{4, 5}, aproximando la amplitud de desplazamiento $W(x, y)$ en la siguiente forma:

$$W(x, y) \cong \sum_{m=1}^M \sum_{n=1}^N A_{mn} X_m(x) Y_n(y) \quad (3)$$

En la expresión anterior, la amplitud de desplazamiento se aproxima con una serie doble de funciones viga^{6,7}, cada una de las cuales satisface las condiciones de borde esenciales o geométricas, en el borde exterior de la placa. Las funciones coordenadas $X_m(x)$ e $Y_n(y)$, son las funciones viga mencionadas, formuladas en las direcciones de los ejes coordenados, y $M \times N$ el número de términos utilizados. Nótese que en la expresión (3), las coordenadas espaciales están expresadas en forma adimensional:

$$x = \bar{x}/a \quad ; \quad y = \bar{y}/b \quad (4)$$

siendo a y b las dimensiones de la placa. Para satisfacer las condiciones de borde geométricas, en el caso de la placa libre de vinculación se utilizan las funciones-viga libre en ambos extremos. La expresión de las mismas resulta:

$$X_m(x) = \cosh(k_m x) + \cos(k_m x) - r_m [\text{sen } h(k_m x) + \text{sen}(k_m x)] \quad (5a, b)$$

$$Y_n(y) = \cosh(k_n y) + \cos(k_n y) - r_n [\text{sen } h(k_n y) + \text{sen}(k_n y)]$$

con

$$r_m = \frac{\cos(k_m) - \cosh(k_m)}{\text{sen}(k_m) - \text{senh}(k_m)} \quad ; \quad r_n = \frac{\cos(k_n) - \cosh(k_n)}{\text{sen}(k_n) - \text{senh}(k_n)} \quad (6a, b)$$

Los autovalores k_m y k_n se obtienen resolviendo las raíces de la siguiente ecuación característica:

$$\cos(k) \cosh(k) = 1 \quad (7)$$

los cuales son coincidentes con los autovalores de las funciones-viga empotrada en ambos extremos, a excepción de los primeros dos, que son nulos y corresponden al modo de desplazamiento de la placa como cuerpo rígido.

Al reemplazar la función aproximada (3) en la expresión variacional (2), se genera un sistema de ecuaciones lineal y homogéneo de la forma:

$$\frac{\partial \mathcal{J}[W]}{\partial A_{ql}} = 0 \quad (8)$$

obtenido al derivar la funcional de la placa respecto a cada una de las constantes A_{mn} .

Para calcular una solución del sistema homogéneo (8), distinta de la trivial, se requiere que el determinante de los coeficientes del sistema de ecuaciones (8), denominado determinante-ecuación, sea nulo.

3.2: Algoritmo matricial

El determinante-ecuación de la placa puede ser expresado en la forma:

$$|\mathbf{U} - \Omega^2 \mathbf{T}| = 0 \quad (9)$$

siendo los $\Omega_i = \sqrt{\frac{\rho h}{D_1}} a^2 \omega_i$, los coeficientes de frecuencia buscados, y \mathbf{U} y \mathbf{T} , las matrices que se relacionan con la energía de deformación y cinética máxima de la placa.

La estructura de las matrices \mathbf{U} y \mathbf{T} es:

$$\mathbf{U} = [u_{qlmn}] \quad ; \quad \mathbf{T} = [t_{qlmn}] \quad \text{con } q, m = 1, \dots, M \text{ y } l, n = 1, \dots, N \quad (10a, b)$$

Los elementos, u_{qlmn} y t_{qlmn} se obtienen con las siguientes expresiones:

$$\begin{aligned} u_{qlmn} = & \lambda^{-2} X_{qm}^c Y_{ln}^a + \nu_2 \left(X_{qm}^b Y_{nl}^b + X_{mq}^b Y_{ln}^b \right) + \lambda^2 \frac{D_2}{D_1} X_{qm}^a Y_{ln}^c + 4 \frac{D_k}{D_1} X_{qm}^d Y_{ln}^{d'} - \\ & \left[\lambda^{-2} X_{qm}^c \Big|_{x_1}^{x_2} Y_{ln}^a \Big|_{y_1}^{y_2} + \nu_2 \left(X_{qm}^b \Big|_{x_1}^{x_2} Y_{nl}^b \Big|_{y_1}^{y_2} + X_{mq}^b \Big|_{x_1}^{x_2} Y_{ln}^b \Big|_{y_1}^{y_2} \right) + \right. \\ & \left. \lambda^2 \frac{D_2}{D_1} X_{qm}^a \Big|_{x_1}^{x_2} Y_{ln}^c \Big|_{y_1}^{y_2} + 4 \frac{D_k}{D_1} X_{qm}^d \Big|_{x_1}^{x_2} Y_{ln}^{d'} \Big|_{y_1}^{y_2} \right] \end{aligned} \quad (11)$$

$$t_{qlmn} = \lambda^{-2} \left(X_{qm}^a Y_{ln}^a - X_{qm}^a \Big|_{x_1}^{x_2} Y_{ln}^a \Big|_{y_1}^{y_2} \right) \quad (12)$$

Las expresiones (11) y (12) son función de las propiedades mecánicas y geométricas de la placa y de los denominados coeficientes-viga, que introducen las condiciones de borde

esenciales, y se obtienen integrando las funciones viga dadas en las expresiones (5a, b). Se tiene así:

$$X_{qm}^a = \int_0^1 X_q X_m dx \qquad X_{qm}^b = \int_0^1 X_q \frac{d^2 X_m}{dx^2} dx \qquad (13)$$

$$X_{qm}^c = \int_0^1 \frac{d^2 X_q}{dx^2} \frac{d^2 X_m}{dx^2} dx \qquad X_{qm}^d = \int_0^1 \frac{dX_q}{dx} \frac{dX_m}{dx} dx$$

$$Y_{ln}^a = \int_0^1 Y_l Y_n dy \qquad Y_{ln}^b = \int_0^1 Y_l \frac{d^2 Y_n}{dy^2} dy \qquad (14)$$

$$Y_{ln}^c = \int_0^1 \frac{d^2 Y_l}{dy^2} \frac{d^2 Y_n}{dy^2} dy \qquad Y_{ln}^d = \int_0^1 \frac{dY_l}{dy} \frac{dY_n}{dy} dy$$

El resto de los coeficientes, utilizados únicamente en los modelos de la figura 1b, se obtienen colocando en los extremos de integración de las expresiones (13) y (14), las coordenadas de los vértices del hueco que contiene la placa.

4 RESULTADOS NUMÉRICOS

Entre la variada gama de posibilidades, para elegir las propiedades del material a tratar⁸, se optó por el hormigón armado, de más frecuente aplicación, considerándose diferentes grados de ortotropía. Las frecuencias obtenidas corresponden exclusivamente a los modos que presentan simetría o antisimetría en ambas direcciones.

Las tablas que contienen los coeficientes de frecuencia calculados, son agrupados de acuerdo al tipo de simetría que presenta la placa. Considerando simetría en ambas direcciones se presentan cuatro casos posibles:

<i>Tipo de simetría</i>	<i>Nomenclatura</i>
doblemente simétricos	S-S
doblemente antisimétricos	A-A
simétricos – antisimétricos	S-A
antisimétricos – simétricos	A-S

4.1 Placa maciza, de material isótropo

Se comparan en la tabla 1 los valores calculados para los primeros 6 coeficientes de frecuencia natural de un modelo testigo, consistente en una placa cuadrada isótropa, libre de vinculación, con los obtenidos por D. J. Gorman⁹ y también con valores obtenidos por A. W. Leissa¹⁰.

Modo	D. J. Gorman ⁹	A. W. Leissa ¹⁰ (Rayleigh-Ritz 36 términos)	Δ_1 %	Presente Estudio (Rayleigh-Ritz 400 términos)	Δ_2 %
1	3.367	3.372	0.15	3.3679	0.03
2	4.899	4.947	0.98	4.907	0.16
3	6.068	6.108	0.66	6.075	0.12
4	8.700	8.756	0.64	8.712	0.14
5	-	8.756	0.64	8.712	0.14
6	15.27	15.38	0.72	15.296	0.17

Tabla 1: Grado de precisión alcanzado con Rayleigh-Ritz, en la determinación de los primeros coeficientes de frecuencia natural $\Omega_i^* = \sqrt{\rho/D} \omega (a/2)^2$, en una placa maciza, cuadrada, isótropa. $\nu = 0.3$

Ambas diferencias porcentuales se obtuvieron con relación a los valores de D. J. Gorman. Del análisis de los resultados de la tabla puede apreciarse que las diferencias disminuyen notablemente al utilizar mayor número de términos, mostrando así la convergencia del algoritmo hacia los valores exactos, como era de esperar.

En la tabla 2 se presenta un análisis de convergencia de los primeros valores de frecuencia, para una placa cuadrada, isótropa maciza, se aprecia cómo varía el grado de precisión de los resultados, en función del número de términos $M \times N$ utilizados en el algoritmo. En las filas 1 y 2 se indica, el tipo de simetría de la forma modal correspondiente y los modos dominantes.

Simetría	A-A	S-S	S-S	S-A	A-S	S-S
Modos dominante	1-1	0-2 2-0	0-2 2-0	2-1	1-2	2-2
M = N	Ω_1	Ω_2	Ω_3	Ω_4	Ω_5	Ω_6
9	14.939	20.563	24.023	37.695	37.695	69.753
25	14.189	20.490	23.967	36.207	36.207	66.248
49	14.135	20.460	23.942	36.087	36.087	66.248
81	14.125	20.444	23.929	36.055	36.055	65.755
225	14.120	20.421	23.909	36.024	36.024	65.699
400	14.119	20.414	23.903	36.012	36.012	65.690

Tabla 2: análisis de convergencia de los primeros coeficientes de frecuencia $\Omega_i = \sqrt{\rho h/D} \omega a^2$, en una placa maciza, cuadrada, isótropa, $\nu = 0.225$.

4.2 Placa maciza, de material ortótropo

Se calcularon coeficientes de frecuencia correspondientes al modelo elegido por D. J. Gorman⁹, aplicando el método de Rayleigh-Ritz, con aproximaciones de 400 términos, para estudiar el grado de convergencia que puede alcanzarse con la metodología propuesta.

Cabe hacer notar que el procedimiento de Rayleigh-Ritz no exige que se satisfagan las condiciones naturales de borde en el borde exterior libre. Las comparaciones entre ambos grupos de valores se presentan en las tablas 3, 4, 5 y 6.

Se ha mantenido la forma de la presentación de resultados dada por Gorman², para facilitar la comparación. Es por ello que los coeficientes de frecuencia son expresados en función de las dimensiones de un cuarto de placa. Las relaciones de ortotropía adoptadas D_2/D_1 se variaron entre 1/3 y 3.

Para cada valor de frecuencia, se presenta el valor calculado por el método de Rayleigh-Ritz propuesto, el valor exacto dado en la bibliografía, Gorman, y la diferencia entre ambos dada como porcentaje. Según es posible observar en las tablas los resultados obtenidos muestran un alto grado de precisión en todos los casos analizados.

Cada tabla corresponde a un tipo de simetría diferente de placas macizas ortótropas, cuadradas o rectangulares.

La tabla 3 presenta los coeficientes de frecuencia para el caso de modos doblemente simétricos. Del análisis comparativo entre ambos grupos de resultados, se observa que la convergencia del método propuesto con los valores de referencia es excelente, siendo la mayor diferencia del 0.12 %.

La tabla 4 corresponde a los coeficientes de frecuencia de modos doblemente antisimétricos, para los mismos modelos estructurales. La mayor diferencia porcentual entre coeficientes es del 0.2 %.

Las tablas 5 y 6 corresponden a los coeficientes de frecuencia de modos simétricos-antisimétricos de placas cuadradas y rectangulares y también en estos casos se observa que el grado de convergencia es excelente.

A continuación se presentan una serie de gráficos, figuras 4, 5, 6 y 7, que muestran el efecto que la relación de rigideces D_2/D_1 del material produce en los primeros dos coeficientes de frecuencia $\Omega_i = \sqrt{\rho h/D_1} \omega a^2$, $i=1, 2$, de placas rectangulares ($\lambda = a/b = 1, 2/3, 2/5$) para los modos de simetría o antisimetría analizados previamente.

Se adoptó para el análisis un rango de variación de la relación de ortotropía D_2/D_1 , de 0.10 a 4.00.

		$\lambda = a/b$								
		1			2 / 3			2 / 5		
D_2/D_1	Modo	Presente estudio	Gorman ²	$\Delta\%$	Presente estudio	Gorman ²	$\Delta\%$	Presente estudio	Gorman ²	$\Delta\%$
1 / 3	1	3.127	3.124	0.10	1.396	1.395	0.07	0.5022	0.5017	0.10
	2	5.588	5.582	0.11	5.539	5.533	0.11	2.738	2.735	0.11
	3	12.557	12.55	0.06	7.668	7.660	0.10	5.562	5.557	0.09
	4	17.356	17.34	0.09	9.231	9.224	0.08	6.734	6.727	0.10
1 / 2	1	3.805	3.801	0.11	1.710	1.708	0.12	0.6152	0.6147	0.08
	2	5.625	5.620	0.09	5.551	5.546	0.09	3.353	3.349	0.12
	3	13.76	13.75	0.07	9.299	9.288	0.12	5.575	5.570	0.09
	4	21.24	21.22	0.09	9.995	9.988	0.07	7.309	7.302	0.10
2 / 3	1	4.345	4.340	0.12	1.974	1.972	0.10	0.7106	0.7099	0.10
	2	5.689	5.684	0.09	5.557	5.552	0.09	3.869	3.865	0.10
	3	14.73	14.72	0.07	10.27	10.26	0.10	5.584	5.579	0.09
	4	24.51	24.49	0.08	11.03	11.02	0.09	7.573	7.565	0.11
3 / 2	1	5.321	5.315	0.11	2.951	2.948	0.10	1.066	1.065	0.09
	2	6.968	6.962	0.09	5.581	5.576	0.09	5.444	5.438	0.11
	3	18.04	18.03	0.06	12.24	12.23	0.08	5.962	5.957	0.08
	4	30.02	29.99	0.10	16.37	16.35	0.12	8.460	8.452	0.09
2	1	5.381	5.376	0.09	3.397	3.394	0.09	1.232	1.230	0.16
	2	7.955	7.948	0.09	5.599	5.594	0.09	5.522	5.516	0.11
	3	19.46	19.45	0.05	13.04	13.03	0.08	6.787	6.780	0.10
	4	30.04	30.01	0.10	18.89	18.87	0.11	8.849	8.842	0.08
3	1	5.416	5.411	0.09	4.120	4.116	0.10	1.508	1.507	0.07
	2	9.678	9.669	0.09	5.656	5.651	0.09	5.544	5.539	0.09
	3	21.75	21.73	0.09	14.32	14.31	0.07	8.263	8.255	0.10
	4	30.06	30.03	0.10	23.12	23.10	0.09	9.491	9.484	0.07

Tabla 3: Primeros cuatro coeficientes de frecuencia natural $\Omega_i^* = \omega_i (a/2)^2 \sqrt{\rho h/D_1}$ de modos doblemente simétricos, en una placa maciza ortótropa, libre de vinculación, para diferentes relaciones D_2/D_1 y diferentes valores de $\lambda = a/b$. Con $\sqrt{\nu_1 \nu_2} = 0.25$. $M = N = 30$

		$\lambda = a/b$								
		1			2 / 3			2 / 5		
D_2/D_1	Modo	Presente estudio	Gorman ²	$\Delta\%$	Presente estudio	Gorman ²	$\Delta\%$	Presente estudio	Gorman ²	$\Delta\%$
1 / 3	1	2.635	2.635	0.00	1.739	1.739	0.00	1.029	1.029	0.00
	2	11.85	11.83	0.17	6.605	6.599	0.09	3.462	3.461	0.03
	3	17.31	17.29	0.12	15.24	15.21	0.20	6.960	6.953	0.10
	4	30.05	30.02	0.10	16.43	16.41	0.12	11.99	11.97	0.17
1 / 2	1	2.921	2.920	0.03	1.930	1.930	0.00	1.141	1.141	0.00
	2	13.85	13.83	0.14	7.592	7.585	0.09	3.911	3.909	0.05
	3	17.78	17.76	0.11	16.32	16.29	0.18	8.067	8.058	0.11
	4	32.92	32.89	0.09	18.45	-	-	14.14	14.12	0.14
2 / 3	1	3.141	3.140	0.03	2.079	2.078	0.05	1.229	1.229	0.00
	2	15.48	15.46	0.13	8.403	8.395	0.10	4.272	4.269	0.07
	3	18.21	18.19	0.11	16.54	16.51	0.18	8.983	8.973	0.11
	4	35.18	35.15	0.09	20.82	20.79	0.14	15.59	15.57	0.13
3 / 2	1	3.846	3.846	0.00	2.558	2.557	0.04	1.514	1.514	0.00
	2	18.96	18.93	0.16	11.33	11.31	0.18	5.523	5.519	0.07
	3	22.31	22.28	0.13	17.20	17.17	0.17	12.32	12.30	0.16
	4	43.09	43.05	0.09	29.17	29.14	0.10	16.06	16.04	0.12
2	1	4.130	4.130	0.00	2.752	2.751	0.04	1.630	1.630	0.00
	2	19.59	19.57	0.10	12.65	12.63	0.16	6.071	6.066	0.08
	3	25.24	25.21	0.12	17.49	17.47	0.11	13.82	13.81	0.07
	4	46.55	46.52	0.06	31.23	31.20	0.10	16.21	16.18	0.19
3	1	4.565	4.564	0.02	3.049	3.048	0.03	1.810	1.809	0.06
	2	20.52	20.49	0.15	14.80	14.78	0.14	6.960	6.954	0.09
	3	29.99	29.94	0.17	18.02	18.00	0.11	15.92	15.90	0.13
	4	52.05	52.00	0.10	34.22	34.20	0.06	16.85	16.83	0.12

Tabla 4: Primeros cuatro coeficientes de frecuencia natural $\Omega_i^* = \omega_i (a/2)^2 \sqrt{\rho h/D_1}$ de modos doblemente antisimétricos, en una placa maciza ortótropa, libre de vinculación, para diferentes relaciones D_2/D_1 y diferentes valores de $\lambda = a/b$. Con $\sqrt{\nu_1 \nu_2} = 0.25$. $M = N = 30$

		$\lambda = a/b$								
		1			2 / 3			2 / 5		
D_2/D_1	Modo	Presente estudio	Gorman ²	$\Delta\%$	Presente estudio	Gorman ²	$\Delta\%$	Presente estudio	Gorman ²	$\Delta\%$
1 / 3	1	6.216	6.212	0.06	3.816	3.814	0.05	2.153	2.152	0.05
	2	15.30	15.29	0.07	10.41	10.39	0.19	5.041	5.037	0.08
	3	20.20	20.17	0.15	15.37	15.35	0.13	9.268	9.257	0.12
	4	22.70	22.68	0.09	18.78	18.76	0.11	15.03	15.01	0.13
1 / 2	1	7.076	7.070	0.08	4.295	4.293	0.05	2.406	2.405	0.04
	2	15.32	15.30	0.13	12.18	12.16	0.16	5.769	5.764	0.09
	3	23.47	23.44	0.13	15.39	15.38	0.06	10.86	10.84	0.18
	4	24.74	24.71	0.12	19.53	19.51	0.10	15.38	15.36	0.13
2 / 3	1	7.775	7.768	0.09	4.677	4.675	0.04	2.605	2.604	0.04
	2	15.33	15.31	0.13	13.63	13.61	0.15	6.365	6.359	0.09
	3	24.93	24.90	0.12	15.43	15.42	0.06	12.18	12.17	0.08
	4	27.72	27.68	0.14	20.13	20.11	0.10	15.39	15.38	0.06
3 / 2	1	10.25	10.24	0.10	5.991	5.987	0.07	3.270	3.268	0.06
	2	15.36	15.35	0.07	15.30	15.28	0.13	8.497	8.488	0.11
	3	28.99	28.96	0.10	19.24	19.21	0.16	15.33	15.32	0.07
	4	39.87	39.81	0.15	22.30	22.28	0.09	17.06	17.03	0.18
2	1	11.34	11.33	0.09	6.560	6.555	0.08	3.549	3.548	0.03
	2	15.39	15.38	0.06	15.31	15.30	0.07	9.457	9.447	0.11
	3	30.71	30.69	0.07	21.65	21.62	0.14	15.36	15.34	0.13
	4	45.46	45.39	0.15	23.35	23.33	0.09	18.31	18.29	0.11
3	1	13.06	13.04	0.15	7.479	7.473	0.08	3.990	3.988	0.05
	2	15.53	15.52	0.06	15.32	15.31	0.07	11.04	11.03	0.09
	3	33.47	33.44	0.09	24.38	24.35	0.12	15.38	15.36	0.13
	4	49.57	49.52	0.10	26.38	26.34	0.15	19.05	19.03	0.10

Tabla 5: Primeros cuatro coeficientes de frecuencia natural $\Omega_i^* = \omega_i (a/2)^2 \sqrt{\rho h/D_1}$ de modos simétricos-antisimétricos con $\lambda \leq 1$, en una placa maciza ortótropa, libre de vinculación, para diferentes relaciones D_2/D_1 y diferentes valores de $\lambda = a/b$. Con $\sqrt{\nu_1 \nu_2} = 0.25$. $M = N = 30$

		$\lambda = a/b$								
		1			3 / 2			5 / 2		
D_2/D_1	Modo	Presente estudio	Gorman ²	$\Delta\%$	Presente estudio	Gorman ²	$\Delta\%$	Presente estudio	Gorman ²	$\Delta\%$
1 / 3	1	6.216	6.212	0.06	4.746	4.741	0.11	2.412	2.410	0.08
	2	15.30	15.29	0.07	6.832	6.825	0.10	3.860	3.856	0.10
	3	20.20	20.17	0.15	13.19	13.18	0.08	7.602	7.596	0.08
	4	22.70	22.68	0.09	18.70	18.67	0.16	7.990	7.983	0.09
1 / 2	1	7.076	7.070	0.08	5.474	5.468	0.11	2.414	2.412	0.08
	2	15.32	15.30	0.13	6.867	6.860	0.10	4.581	4.575	0.13
	3	23.47	23.44	0.13	14.34	14.33	0.07	7.910	7.901	0.11
	4	24.74	24.71	0.12	21.89	21.86	0.14	8.580	8.574	0.07
2 / 3	1	7.775	7.768	0.09	6.028	6.021	0.12	2.415	2.412	0.12
	2	15.33	15.31	0.13	6.947	6.941	0.09	5.186	5.178	0.15
	3	24.93	24.90	0.12	15.27	15.25	0.13	7.926	7.918	0.10
	4	27.72	27.68	0.14	22.06	22.03	0.14	9.296	9.290	0.06
3 / 2	1	10.25	10.24	0.10	6.670	6.663	0.10	2.413	2.410	0.12
	2	15.36	15.35	0.07	8.628	8.618	0.12	7.330	7.319	0.15
	3	28.99	28.96	0.10	18.47	18.45	0.11	8.053	8.045	0.10
	4	39.87	39.81	0.15	22.09	22.07	0.09	11.89	11.88	0.08
2	1	11.34	11.33	0.09	6.692	6.685	0.10	2.412	2.409	0.12
	2	15.39	15.38	0.06	9.672	9.660	0.12	7.766	7.757	0.12
	3	30.71	30.69	0.07	19.84	19.83	0.05	8.867	8.655	2.39
	4	45.46	45.39	0.15	22.11	22.09	0.09	13.04	13.03	0.08
3	1	13.06	13.02	0.15	6.704	6.697	0.10	2.410	2.408	0.08
	2	15.53	15.52	0.06	11.44	11.42	0.17	7.840	7.832	0.10
	3	33.47	33.44	0.09	21.73	21.71	0.09	10.35	10.33	0.19
	4	49.57	49.52	0.10	22.48	22.46	0.09	14.93	14.91	0.13

Tabla 6: Primeros cuatro coeficientes de frecuencia natural $\Omega_i^* = \omega_i (a/2)^2 \sqrt{\rho h/D_1}$ de modos simétricos-antisimétricos con $\lambda \geq 1$, en una placa maciza ortótropa, libre de vinculación, para diferentes relaciones D_2/D_1 y diferentes valores de $\lambda = a/b$. Con $\sqrt{\nu_1 \nu_2} = 0.25$. $M = N = 30$

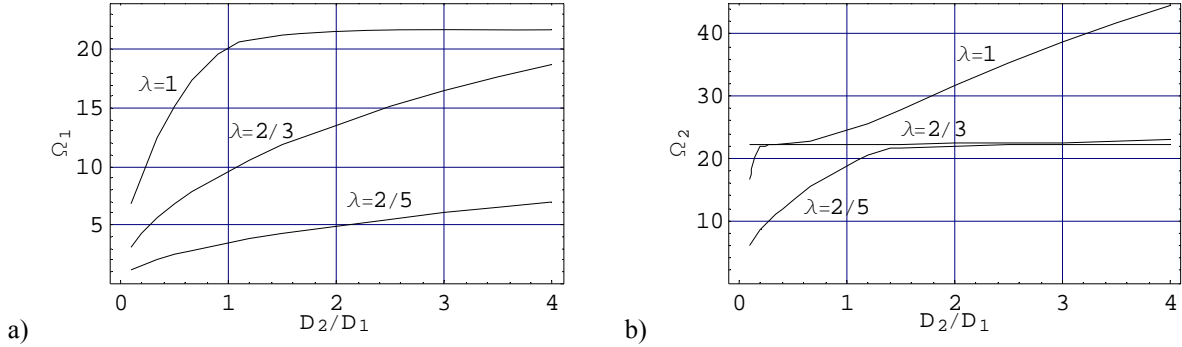


Figura 4: Modos S-S : $\lambda \leq 1$ Primeros dos coeficientes de frecuencia $\Omega_i = \omega_i a^2 \sqrt{\rho h / D_1}$ en función de la relación D_2 / D_1 , en una placa maciza ortótropa, para diferentes relaciones de lado $\lambda = a / b$: a) Ω_1 , b) Ω_2 .

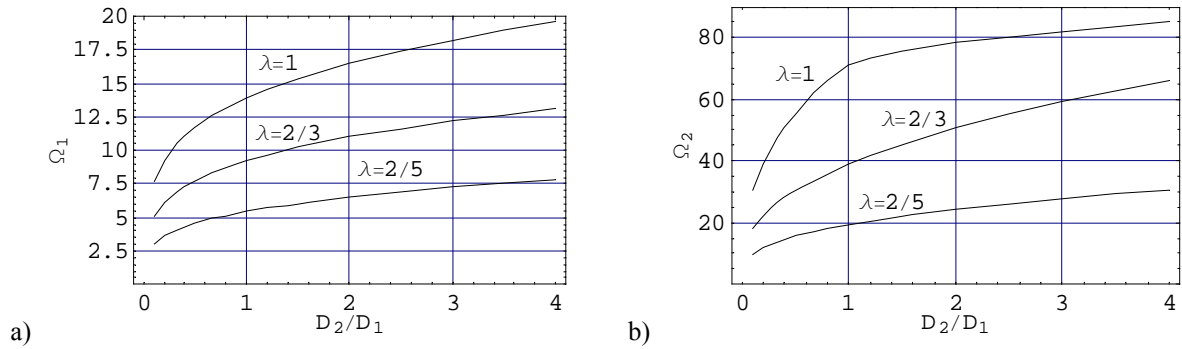


Figura 5: Modos A-A : $\lambda \leq 1$ Primeros dos coeficientes de frecuencia $\Omega_i = \omega_i a^2 \sqrt{\rho h / D_1}$ en función de la relación D_2 / D_1 , en una placa maciza ortótropa, para diferentes relaciones de lado $\lambda = a / b$: a) Ω_1 , b) Ω_2 .

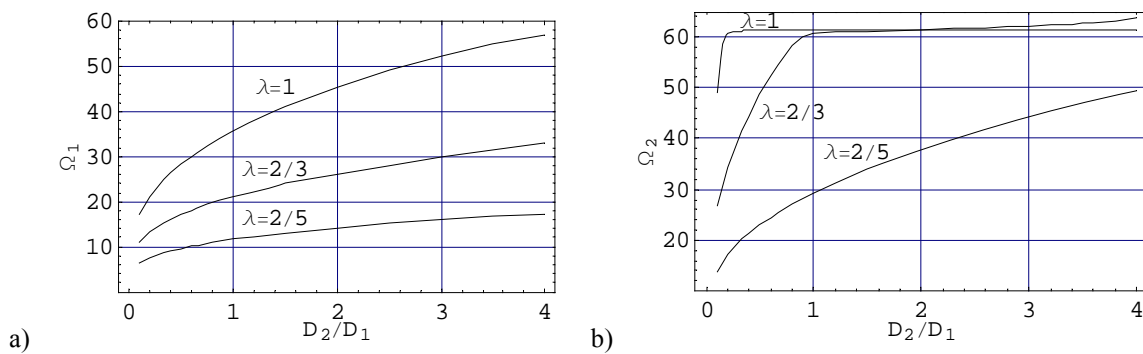


Figura 6: Modos S-A $\lambda \leq 1$: Primeros dos coeficientes de frecuencia en función de la relación , en una placa maciza ortótropa, para diferentes relaciones de lado $\lambda = a / b$: a) Ω_1 , b) Ω_2 .

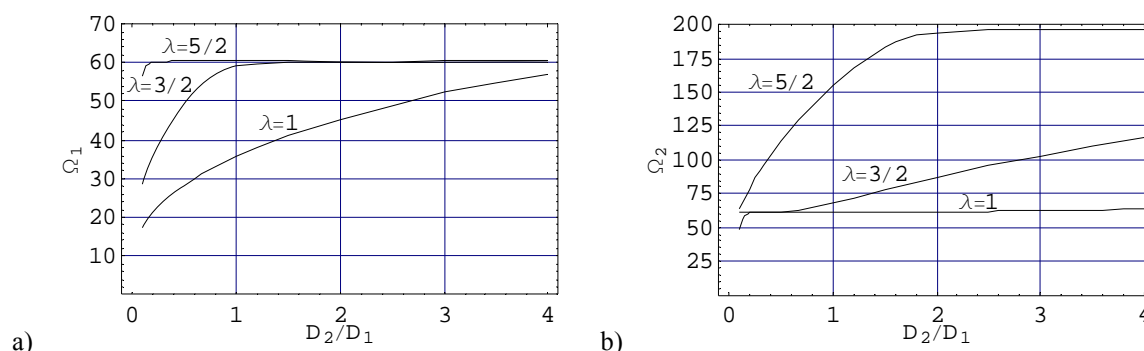


Figura 7: Modos S-A $\lambda \geq 1$: Primeros dos coeficientes de frecuencia $\Omega_i = \omega_i a^2 \sqrt{\rho h/D_1}$ en función de la relación D_2/D_1 , en una placa maciza ortótropa, para diferentes relaciones de lado $\lambda = a/b$: a) Ω_1 , b) Ω_2 .

4.3 Análisis de los coeficientes de vibración de la placa ortótropa, con un hueco central

En la segunda parte del trabajo se analizaron modelos de una placa ortótropa a la que se le ha practicado un orificio rectangular central, con la misma relación de lados λ que la placa, figura 1b.

Los coeficientes de frecuencia se calcularon utilizando dos métodos diferentes: En primer lugar se utilizó el método variacional de Rayleigh-Ritz⁴, con el algoritmo propuesto, y en segundo lugar se implementó el método de elementos finitos¹¹. Se modeló la placa cuadrada con una malla de 50×50 elementos, y la placa rectangular con una malla de 60×40 elementos, y en ambos casos se utilizaron elementos tipo placa de cuatro nodos.

Las tablas 7 a 10 muestran los resultados obtenidos para una placa ortótropa cuadrada, $\lambda = 1$, con tres diferentes tamaños del hueco central, $a_1/a = 0,20$; $0,30$ y $0,40$. Cada una de las tablas mencionadas contiene resultados de modos de vibración clasificados de acuerdo a la simetría y antisimetría de la forma modal correspondientes.

Las tablas 11 a 14 muestran un ordenamiento similar para los coeficientes de frecuencia placas rectangulares con orificio central de relación de lados $\lambda = a/b = 1.5 = a_1/a$.

Comparado con el caso de placas macizas, se observa que la convergencia del método propuesto es más lenta cuando se consideran placas con huecos. Por ese motivo se utilizó una función aproximante de mayor cantidad de términos ($M \times N = 900$ términos).

Del análisis del modelo resuelto mediante elementos finitos, se sabe que los resultados son aproximados son necesariamente cota superior de los valores exactos, dadas las aproximaciones del algoritmo en cuestión. Comparando ambos grupos de resultados puede considerarse que los valores calculados por ambas metodologías, presentan entre sí una buena concordancia y resultan válidos para fines de aplicación práctica, o como valor de referencia.

Los modelos planteados también consideran el material isótropo $D_1/D_2 = 1$, como caso particular, permitiendo así realizar comparaciones con los que presentan ortotropía.

D_2/D_1	Modo	a_1/a					
		0.2		0.3		0.4	
		Presente Estudio	Elementos Finitos ¹¹	Presente Estudio	Elementos Finitos ¹¹	Presente Estudio	Elementos Finitos ¹¹
1/2	1	14.479	14.416	13.776	13.721	13.001	12.947
	2	21.195	21.121	20.474	20.404	20.155	20.074
	3	55.296	55.144	57.148	57.000	59.619	59.375
	4	85.058	84.685	85.132	84.600	81.248	80.102
1	1	19.135	19.044	18.038	17.962	16.790	16.721
	2	22.692	22.621	22.125	22.053	22.081	21.992
	3	65.484	65.304	67.863	67.688	71.234	70.952
	4	115.50	115.02	111.60	110.73	102.05	100.35
2	1	20.477	20.388	19.483	19.404	18.386	18.310
	2	29.974	29.869	28.954	28.855	28.504	28.389
	3	78.201	77.985	80.820	80.610	84.314	83.968
	4	120.29	120.02	120.39	119.64	114.90	113.28

Tabla 7: Primeros cuatro coeficientes de frecuencia natural $\Omega_i = \sqrt{\rho h/D_1} a^2 \omega_i$ de modos doblemente simétricos, en una placa ortótropa cuadrada, libre de vinculación y con un hueco centrado, para diferentes relaciones de ortotropía D_2/D_1 y distintas dimensiones de hueco a_1/a . Con $\sqrt{\nu_1 \nu_2} = 0.25$. $M = N = 30$.

D_2/D_1	Modo	a_1/a					
		0.2		0.3		0.4	
		Presente Estudio	Elementos Finitos ¹¹	Presente Estudio	Elementos Finitos ¹¹	Presente Estudio	Elementos Finitos ¹¹
1/2	1	31.932	31.879	31.565	31.501	30.733	30.656
	2	42.542	42.335	40.288	39.971	37.889	37.534
	3	85.337	84.971	84.308	83.889	85.556	85.027
	4	128.02	127.47	126.43	125.89	122.62	121.76
1	1	35.445	35.395	34.936	34.862	33.855	33.761
	2	59.637	59.318	55.893	55.401	52.181	51.659
	3	104.71	104.19	102.62	102.04	103.86	103.19
	4	131.75	131.25	130.25	129.69	126.96	126.16
2	1	39.773	39.721	39.062	38.976	37.606	37.492
	2	83.589	83.096	77.103	76.312	71.299	70.512
	3	129.86	129.10	126.62	125.85	127.77	126.95
	4	136.97	136.48	134.55	133.98	131.06	130.33

Tabla 8: Primeros cuatro coeficientes de frecuencia natural $\Omega_i = \sqrt{\rho h/D_1} a^2 \omega_i$ de modos simétrico-antisimétrico de una placa ortótropa cuadrada, libre de vinculación y con un hueco centrado, para diferentes relaciones de ortotropía D_2/D_1 y distintas dimensiones de hueco a_1/a . Con $\sqrt{\nu_1 \nu_2} = 0.25$. $M = N = 30$.

D_2/D_1	Modo	a_1/a					
		0.2		0.3		0.4	
		Presente Estudio	Elementos Finitos ¹¹	Presente Estudio	Elementos Finitos ¹¹	Presente Estudio	Elementos Finitos ¹¹
1/2	1	28.124	28.087	27.621	27.560	26.591	26.511
	2	59.106	58.758	54.520	53.960	50.416	49.860
	3	91.825	91.288	89.537	88.991	90.349	89.766
	4	96.855	96.504	95.143	94.741	92.678	92.156
1	1	35.445	35.395	34.936	34.862	33.855	33.761
	2	59.637	59.318	55.893	55.401	52.181	51.659
	3	104.71	104.19	102.62	102.04	103.86	103.19
	4	131.75	131.25	130.25	129.69	126.96	126.16
2	1	45.158	45.084	44.640	44.550	43.464	43.355
	2	60.163	59.870	56.976	56.527	53.583	53.081
	3	120.68	119.76	119.23	118.64	120.98	120.25
	4	181.05	180.27	178.79	178.03	173.41	172.19

Tabla 9: Primeros cuatro coeficientes de frecuencia natural $\Omega_i = \sqrt{\rho h/D_1} a^2 \omega_i$ de modos antisimétrico-simétrico de una placa ortótropa cuadrada, libre de vinculación y con un hueco centrado, para diferentes relaciones de ortotropía D_2/D_1 y distintas dimensiones de hueco a_1/a . Con $\sqrt{\nu_1 \nu_2} = 0.25$. $M = N = 30$.

D_2/D_1	Modo	a_1/a					
		0.2		0.3		0.4	
		Presente Estudio	Elementos Finitos ¹¹	Presente Estudio	Elementos Finitos ¹¹	Presente Estudio	Elementos Finitos ¹¹
1/2	1	11.226	11.216	10.679	10.668	9.9683	9.9565
	2	54.797	54.608	54.092	53.934	53.203	53.017
	3	70.109	69.857	69.015	68.790	67.784	67.515
	4	128.55	128.20	126.64	126.26	128.62	128.07
1	1	13.369	13.356	12.723	12.710	11.883	11.869
	2	70.968	70.681	70.771	70.533	69.984	69.699
	3	75.577	75.349	73.684	73.476	72.035	71.790
	4	151.48	151.08	149.40	148.96	152.03	151.40
2	1	15.877	15.862	15.102	15.087	14.097	14.081
	2	77.495	77.228	76.498	76.275	75.241	74.977
	3	99.149	98.793	97.602	97.283	95.862	95.481
	4	181.80	181.31	179.10	178.56	181.89	181.12

Tabla 10: Primeros cuatro coeficientes de frecuencia natural $\Omega_i = \sqrt{\rho h/D_1} a^2 \omega_i$ de modos antisimétrico-antisimétrico de una placa ortótropa cuadrada, libre de vinculación y con un hueco centrado, para diferentes relaciones de ortotropía D_2/D_1 y distintas dimensiones de hueco a_1/a . Con $\sqrt{\nu_1 \nu_2} = 0.25$. $M = N = 30$.

D_2/D_1	Modo	a_1/a					
		0.2		0.3		0.4	
		Presente Estudio	Elementos Finitos ¹¹	Presente Estudio	Elementos Finitos ¹¹	Presente Estudio	Elementos Finitos ¹¹
1/2	1	20.591	20.509	19.629	19.552	18.586	18.516
	2	33.521	33.381	32.316	32.173	31.708	31.556
	3	83.216	82.958	85.793	85.489	89.001	88.603
	4	120.51	120.09	121.46	120.73	117.88	116.34
1	1	20.766	20.686	19.861	19.784	18.896	18.824
	2	46.912	46.706	45.069	44.861	44.006	43.789
	3	100.25	99.920	101.69	101.33	101.98	101.43
	4	121.29	120.87	124.80	124.11	127.73	126.44
2	1	20.859	20.778	19.986	19.908	19.049	18.976
	2	65.808	65.509	63.066	62.766	61.444	61.135
	3	116.09	115.71	114.14	113.70	110.21	109.48
	4	128.32	127.85	135.92	135.24	145.61	144.50

Tabla 11: Primeros cuatro coeficientes de frecuencia natural $\Omega_i = \sqrt{\rho h/D_1} a^2 \omega_i$ de modos doblemente simétricos, de una placa ortótropa rectangular ($\lambda = 1.5$), libre de vinculación y con un hueco centrado, para diferentes relaciones de ortotropía D_2/D_1 y distintas dimensiones de hueco a_1/a . Con $\sqrt{\nu_1 \nu_2} = 0.25$. $M=N=30$.

D_2/D_1	Modo	a_1/a					
		0.2		0.3		0.4	
		Presente Estudio	Elementos Finitos ¹¹	Presente Estudio	Elementos Finitos ¹¹	Presente Estudio	Elementos Finitos ¹¹
1/2	1	41.467	41.420	40.669	40.572	39.048	38.934
	2	93.662	92.999	85.758	84.724	78.992	77.972
	3	137.04	136.45	135.52	134.83	132.74	132.12
	4	142.32	141.57	137.38	136.47	137.65	136.61
1	1	47.189	47.133	46.059	45.941	43.814	43.668
	2	129.46	128.42	115.16	113.44	104.80	103.23
	3	146.21	145.76	143.63	143.13	139.44	138.89
	4	179.35	178.00	173.03	171.68	174.01	172.76
2	1	54.135	54.072	52.524	52.373	49.371	49.181
	2	151.87	151.34	141.52	139.71	130.69	128.78
	3	182.93	181.23	163.40	161.98	153.72	152.87
	4	230.99	229.14	224.53	222.93	225.76	224.26

Tabla 12: Primeros cuatro coeficientes de frecuencia natural $\Omega_i = \sqrt{\rho h/D_1} a^2 \omega_i$ de modos simétrico-antisimétrico, de una placa ortótropa rectangular ($\lambda = 1.5$), libre de vinculación y con un hueco centrado, para diferentes relaciones de ortotropía D_2/D_1 y distintas dimensiones de hueco a_1/a . Con $\sqrt{\nu_1 \nu_2} = 0.25$. $M=N=30$.

D_2/D_1	Modo	a_1/a					
		0.2		0.3		0.4	
		Presente Estudio	Elementos Finitos ¹¹	Presente Estudio	Elementos Finitos ¹¹	Presente Estudio	Elementos Finitos ¹¹
1/2	1	49.078	48.962	48.547	48.402	47.291	47.149
	2	60.465	60.212	57.429	57.006	54.165	53.699
	3	127.04	126.51	125.81	125.16	127.70	126.95
	4	193.20	191.98	192.52	191.49	189.58	188.09
1	1	58.403	58.154	56.544	56.210	53.797	53.426
	2	66.489	66.314	65.073	64.807	63.374	63.090
	3	149.09	148.53	148.43	147.75	150.07	149.24
	4	194.71	193.49	195.77	194.69	204.38	203.24
2	1	59.508	59.249	57.498	57.143	54.759	54.362
	2	86.552	86.301	85.434	85.129	83.685	83.360
	3	177.26	176.71	176.44	175.79	174.56	173.70
	4	195.45	194.21	196.94	195.78	211.33	210.16

Tabla 13: Primeros cuatro coeficientes de frecuencia natural $\Omega_i = \sqrt{\rho h/D_1} a^2 \omega_i$ de modos antisimétrico-antisimétrico, de una placa ortótropa rectangular ($\lambda=1.5$), libre de vinculación y con un hueco centrado, para diferentes relaciones de ortotropía D_2/D_1 y distintas dimensiones de hueco a_1/a . Con $\sqrt{\nu_1 \nu_2} = 0.25$. $M=N=30$.

D_2/D_1	Modo	a_1/a					
		0.2		0.3		0.4	
		Presente Estudio	Elementos Finitos ¹¹	Presente Estudio	Elementos Finitos ¹¹	Presente Estudio	Elementos Finitos ¹¹
1/2	1	16.822	16.805	15.996	15.978	14.924	14.905
	2	79.441	79.204	78.333	78.104	77.003	76.776
	3	109.92	109.41	108.28	107.75	106.34	105.80
	4	194.23	193.62	191.19	190.45	193.81	192.86
1	1	19.915	18.894	18.906	18.884	17.602	17.579
	2	86.158	85.921	84.738	84.508	83.145	82.917
	3	150.04	149.29	147.86	147.09	145.07	144.25
	4	222.61	221.62	221.01	220.06	217.50	216.45
2	1	23.542	23.517	22.300	22.273	20.701	20.674
	2	94.741	94.496	92.951	92.714	90.960	90.720
	3	205.45	204.32	201.95	200.76	197.81	196.51
	4	233.63	232.70	231.73	230.85	226.70	225.74

Tabla 14: Primeros cuatro coeficientes de frecuencia natural $\Omega_i = \sqrt{\rho h/D_1} a^2 \omega_i$ de modos antisimétrico-antisimétrico, de una placa ortótropa rectangular ($\lambda=1.5$), libre de vinculación y con un hueco centrado, para diferentes relaciones de ortotropía D_2/D_1 y distintas dimensiones de hueco a_1/a . Con $\sqrt{\nu_1 \nu_2} = 0.25$. $M=N=30$.

5 CONCLUSIONES

En la primer parte del trabajo, en que se analizó la placa maciza ortótropa, comparándose luego los resultados calculados con los valores exactos obtenidos por D. J. Gorman², puede concluirse que, resulta alentador el alto grado de precisión obtenido con el algoritmo propuesto, teniendo en cuenta que se trata de una metodología aproximada que no requiere satisfacer las condiciones de borde naturales en el borde libre.

En la segunda parte del trabajo en que se consideró la placa con un hueco centrado, el grado de precisión se reduce tal como era de esperar. En este caso puede observarse que mientras los valores obtenidos con elementos finitos se incrementan al aumentar el número de elementos de la malla utilizada, ocurre lo contrario con los valores obtenidos con Rayleigh-Ritz, que al ser cota superior de los valores exactos, disminuyen al incrementar el número de términos del algoritmo. De este modo, y para los modelos analizados, la diferencia en los resultados que arrojan ambas metodologías disminuye conforme se incrementa la precisión de ambas.

6 AGRADECIMIENTOS

El presente trabajo fue financiado por la Secretaría General de Ciencia y Tecnología (SGCyT) de la Universidad Nacional del Sur y por el Consejo Nacional de Investigaciones Científicas y Técnicas (CONICET).

7 REFERENCIAS

1. A. W. Leissa, *Vibration of Plates*. NASA S.P. 160, (1969).
2. D. J. Gorman, Accurate free vibration analysis of the completely free orthotropic rectangular plate by the method of superposition, *Journal of Sound and Vibration*, **165**(3), 409-420, (1993).
3. S. G. Lekhnitskii, *Anisotropic Plates*. Gordon and Breach Science Publishers, (1968).
4. Lord Rayleigh, *Theory of Sound*. Segunda edición, Vol. 1 Mac Millan, London (1894), Sec 88 (Re-Edición por Dover, New York, (1945).
5. W. Ritz, Theorie der Transversalschwingungen, einer quadratischen Platte mit freien Rändern. *Ann. Physik*, Bd. 28, pp. 737-786, (1909).
6. D. Young, R. P. Felgar Jr., Tables of Characteristic Functions Representing Normal Modes of Vibration of a Beam, *The University of Texas Publication*, N° 4913, (1949).
7. D. Young, Vibration of Rectangular Plates by the Ritz Method, *Journal of Applied Mechanics*, 17, pp. 448-453, (1950).
8. T. K. Ooi, J. A. Gilbert, M. V. Bower, R. E. Vaughan and R. C. Engberg. Modal analysis of lightweight graphite reinforced silica/polymer matrix composite plates. *An International Journal of Experimental Mechanics*. Vol. **45** Num.3, 221-225, (2005).

9. D. J. Gorman, Free vibration analysis of completely free rectangular plates by the method of superposition-Galerkin method, *Journal of Sound and Vibration*, **237**(5), 901-914, (2000).
10. A. W. Leissa, The free vibration of rectangular plates. *Journal of Sound and Vibration*, 31(3), 257-293, (1973).
11. ALGOR inc., *Linear Stress and Vibration Analysis Processor Reference Manual*. Part N° 6.000.501, Revision 5.00, Pittsburgh, PA, USA, (1999).